

تعیین روابط کاهندگی دامنه امواج لرزه‌ای در ناحیه تهران

سید خلیل متقی^۱، عبدالرضا قدس^۲، حمیدرضا سیاهکوهی^۳

^۱دانشگاه تحصیلات تکمیلی در علوم پایه، زنجان، ایران

^۲موسسه ژئوفیزیک، دانشگاه تهران، تهران، ایران

تاریخ دریافت: ۱۳۸۶/۰۹/۱۷ تاریخ پذیرش: ۱۳۸۸/۰۸/۲۰

چکیده

تعیین روابط کاهندگی در یک ناحیه و ارائه توابعی برای افت دامنه امواج ناشی از غیرکشسان بودن زمین و گسترش هندسی امواج در چند دهه گذشته، همواره مورد توجه بوده است. با استفاده از دستگاه‌های سرعتنگاشت شبکه لرزه‌نگاری رقومی موسسه ژئوفیزیک دانشگاه تهران، زلزله رویداده در ناحیه تهران با بزرگی محلی بین $3/2$ تا $3/9$ ، برسی شد و با استفاده از الگوریتم Robust Lowess نقاط تغییر ضریب گسترش هندسی که ناشی از وجود ناپیوستگی‌های سخت کره است به دست آمد. سپس با استفاده از رگرسیون خطی، ضرایب گسترش هندسی وتابع کیفیت امواج برای ناحیه تهران ارائه شد. نقاط تغییر این ضرایب برای همخوانی با فرض Hinged Trilinear در نظر گرفته شده است. ضرایب گسترش هندسی در $b_1 = 1/1 \pm 0/1$ ، $b_2 = 0/5 \pm 0/4$ ، $b_3 = 1/1 \pm 0/1$ مشاهده و در $0/5 \pm 0/3$ احاطه وتابع کیفیت امواج برای هر گونه مدل سازی محاسبه شد. مقایسه ضریب کیفیت برآورد شده با روابط تعیین شده برای دیگر نقاط لرزه‌خیز، بیانگر لرزه‌خیزی زیاد منطقه است.

کلیدواژه‌ها: روابط کاهندگی، ناکشانی، پخش هندسی،تابع کیفیت امواج برای هر گونه مدل سازی، الگوریتم Robust Lowess، منطقه تهران.

E-mail: khalil1024@yahoo.com

*نویسنده مسئول: خلیل متقی

-۱- مقدمه

زمین لرزه با پراکندگی فراوان، منجر به داشتن برتوهایی می‌شود که کل منطقه را پوشش می‌دهند که همین موضوع تا حد ممکن جواب را به مقدار واقعی نزدیکتر می‌کند. تفاوت قابل توجه در مقدار تابع کیفیت امواج عرضی در مطالعات اشاره شده در شمال ایران با وجودی که بیشترین داده استفاده شده در هر دو مطالعه، زمین لرزه کجور- Motazedian (2006) و قاسمی و همکاران (۱۳۸۴) به ترتیب تابع کیفیت امواج عرضی $Q_\beta = 87f^{1.46}$ و $Q_\beta = 90f^{0.74}$ را برای منطقه شمال ایران ارائه کردند.

در منطقه تهران، تعداد زمین لرزه‌های بزرگ بسیار محدود است و بنابراین تعداد نگاشت‌های دستگاه‌های شتاب‌نگار که تنها قادر به ثبت زمین لرزه‌های بزرگ هستند بسیار محدود و منحصر به چند زمین لرزه بزرگ است. متغیرهای کاهندگی به دست آمده از این گونه مطالعات می‌تواند به شدت متأثر از سازوکار گسل‌ش و زمین‌شناسی در مسیر پرتوها باشد. مقدار دامنه در یک شاعع معین حول رومکر زمین لرزه یکسان نیست و به آزمیوت ایستگاه و گسل، سازوکار گسل و اثر جهت پذیری (Directivity) ناشی از سوی حرکت پارگی در امتداد گسل بستگی دارد. تقریباً در بیشتر مطالعات محاسبه کاهندگی دامنه، با وجود استفاده از زمین لرزه‌های بزرگ، به اجراء از این اثراها به عنوان تغییرات کاتورهای صرف نظر شده است (برای مثال Atkinson & Mereu 1992).

برای رفع مشکلات بالا، در این مطالعه از 47 زمین لرزه کوچک با بزرگی M_L بین $3/2$ تا $3/9$ استفاده شد که نزدیکی چشم‌قطعه‌ای برای آنها مناسب است. حجم زیادتر داده و پوشش همگن تر منطقه مورد مطالعه توسط پرتوهای لرزه‌های زلزله‌های کوچک، اثر الگوی تابش و جهت پذیری را به طور قابل توجهی کاهش می‌دهد. انتخاب حد پایین بزرگی $3/2$ برای داشتن نگاشت‌هایی با نسبت سیگنال به نویه قابل توجه است. بهنای کم بازه بزرگی سبب شد که پراکندگی دامنه ناشی از تفاوت بزرگی زمین لرزه، به طور قابل توجهی کاهش یابد و نیاز ما را به بهنجار کردن دامنه‌ها به یک سطح با بزرگی معین مرتفع کند.

البته یادآوری این نکته در اینجا ضروری است که ضرایب پخش هندسی افزون بر مسیر انتشار امواج، به چشم نیز وابسته است. دامنه امواج لرزه‌ای که در یک زلزله بزرگ تولید می‌شوند با آهنگ کندتری نسبت به زلزله‌های کوچک

تعیین شکل منحنی کاهندگی انرژی امواج لرزه‌ای در یک ناحیه و ارائه توابعی برای کاهندگی دامنه امواج عرضی ناشی از غیرکشسان بودن زمین و گسترش هندسی در چندین دهه اخیر همواره مورد توجه بوده است Ou & Herrmann, 1990; Atkinson & Mereu, 1992; Martynov et al., 1999; (Atkinson, 2004; Motazedian, 2006 درباره زمین‌شناسی ناحیه و مرازهای ناپیوستگی پوسته که باعث بازنگاری پرتوهای امواج می‌شوند به ما می‌دهد (Burger et al., 1987). همچنین نحوه کاهندگی دامنه امواج لرزه‌ای در یک منطقه یکی از متغیرهای لازم برای هر گونه مدل سازی دقیق شکل موج برای به دست آوردن ویژگی‌های چشم‌زین لرزه‌ها است.

پیش از این مطالعه، بررسی‌هایی برای تابع کاهندگی دامنه در شمال ایران انجام شده است که در این میان می‌توان به مطالعات Motazedian (2006) بر روی 22 زمین لرزه بزرگ در شمال ایران که در 26 سال گذشته در حاشیه شمالی البرز روی داده و مطالعات قاسمی و همکاران (۱۳۸۴) که با استفاده از زمین لرزه کجور- بلده ($M_W = 6/3$ ؛ $28/5/2004$) انجام شده است، اشاره کرد. در هر دو مطالعه از داده‌های شبکه شتاب‌نگاری مرکز تحقیقات ساختمان و مسکن استفاده شده است. در مطالعه (Motazedian 2006)، اگرچه از 22 زمین لرزه استفاده شده اما بیش از نیمی از نگاشت‌های تحلیل شده (139) نگاشت از 460 نگاشت‌های ثبت شده از یک زمین لرزه یعنی زمین لرزه کجور- بلده است. اما همان گونه که Boore (2004b) نشان داده است، مقدار بیشینه دامنه نگاشت در یک مکان به شدت به ویژگی‌های ناحیه همسایه چشم‌نیاز نداشته باشند. افزون بر این، تغییر اندک آزمیوت از آنچه که منجر به تغییر قابل توجه پرتو در یک محیط سه بعدی ناهمگن می‌شود، مقدار میرایی دامنه امواج را تغییر می‌دهد. این نبود قطعیت در تعیین دامنه می‌تواند دامنه را تا 2 برابر (Atkinson & Mereu, 1992) یا 10 برابر (Boore, 2004b) بیشتر یا کمتر کند. بنابراین ارائه یک رابطه کاهندگی میانگین برای تمامی ناحیه، مستلزم استفاده از چشم‌های زمین لرزه فراوان و گیرندهای بسیار است تا با میانگین گیری، اثرات مربوط به چشم و گیرندها، کاهش یابد و مقداری قابل قبول برای تابع افت انرژی در ناحیه به دست آید. افزون بر این، استفاده از چشم‌های

است که بیشتر روی مؤلهای افقی ثبت می‌شوند. مطالعات (1990) Ou & Herrmann که با استفاده از مطالعه نگاشت‌های مصنوعی انجام شد، نشان داده است که بیشترین انرژی موج رسیده به استگاه، توسط فازهای برشی که در راستای افقی حرکت می‌کنند (فازهای مؤلفه S_{\parallel}) حمل می‌شود و بنابراین مؤلفه مماسی (T) بیشترین انرژی را ثبت می‌کند. از این رو، مؤلفه‌های افقی $E-W$ و $N-S$ در امتداد رومر کر زمین لرزه جرخانده و تجزیه‌ها روی مؤلفه T انجام شد. برای جدا کردن خودکار فازهای S از بقیه نگاشت، ابتدا منحنی زمان رسید فاز S_{\parallel} بر حسب فاصله، برای ۴۸۰ نگاشت رسم شد و از روی عکس شب، سرعت میانگین فاز S_{\parallel} در ناحیه به دست آمد. بنابراین از این پس، با داشتن فاصله ایستگاه از چشمته، زمان رسید تقریبی فاز S_{\parallel} را داریم. اختلاف زمانی میان اولین رسید فاز S_{\parallel} و کداهای S بر حسب فاصله از بانک داده خوانده شد و با برازش یک خط بر آنها زمان انتهای فازهای S بر حسب فاصله برآورد شد. برای هر نگاشت T ، پنجره S از زمان رسید فاز S_{\parallel} آغاز و تا جایی که تقریباً ۹۰٪ کل انرژی موج برشی در آن بازه قرار بگیرد ادامه می‌یابد (Atkinson & Mereu, 1992). این کار حجم بالایی از نمونه‌های کم انرژی که در انتهای پنجره S قرار می‌گیرند را کنار می‌گذارد و مقدار محاسبات را به صورت قابل توجهی کاهش می‌دهد.

۳-۲. تحلیل سیگنال‌ها

پس از بریدن پنجه S از بقیه نگاشت، برای پیشگیری از پدیده گیبس و بسامدهای دروغین ناشی از قطع سری زمانی در دو انتهای پنجه، لازم است از یک نرم کننده (Taper) استفاده کنیم. برای این منظور، نرم کننده کسینوسی ۵٪ مورد استفاده قرار گرفت و در دو انتهای پنجه S اعمال شد. سپس با استفاده از تبدیل فوریه گسسته (DFT) طیف دامنه سرعت در بسامدهای مختلف به دست آمد و با مشتق‌گیری از طیف سرعت در حوزه بسامد، دامنه طیف شتاب محاسبه شد:

$$a(f) = 2\pi f |V(f)| \quad ((1))$$

$$a(f) = 2\pi f |V(f)| \quad (\text{v})$$

که f بسامد، $|V(f)|$ دامنه طیف سرعت و $a(f)$ دامنه طیف شتاب را نشان می‌دهد.

برای حذف اثر دستگاه‌های ثبت کننده از روی نگاشت زمین‌لرزه، از روش واهمامیخت در حوزه بسامد استفاده شد. اثر دستگاه از روی نگاشت لرزه‌ای با تقسیم

$$A(f) = \frac{a(f)}{I(f)} \quad \text{دامنه طیف شتاب به دامنه منحنی پاسخ دستگاه، } I(f) \text{ حذف شد:} \quad (2)$$

در پایان، از منحنی طیف شتاب در فضای فوریه در بازه‌های $0/1$ لگاریتمی میانگین گیری و مقدار دامنه به دست آمده، به بسامد مرکزی پنجره نسبت داده شد. این کار سبب هموار شدن (smoothed) منحنی شتاب می‌شود. این میانگین گیری از طیف شتاب در هنگام محاسبه کاهندگی بدین معناست که کاهندگی انرژی در پنجره‌های کوچک بسامدی (و نه در یک بسامد معین) مورد بررسی قرار می‌گیرند. یکی دیگر از عوامل مزاحم موجود در طیف دامنه اثر نوفه محیط است. برای محاسبه و حذف اثر نوفه، یک پنجره با طول مساوی پنجره L پیش از رسید اولین فاز P برداشته شد. تمامی آزمایش‌های بالا بر روی این پنجره نوفه نیز انجام و طیف شتاب پنجره نوفه، $N(f)$ ، محاسبه شد. سپس توان نوفه در هر بسامد از توان سیگنال (k) کم شد:

$$A'(f) = \sqrt{A^2(f) - N^2(f)} \quad (3)$$

نگاشت‌هایی که نسبت سیگنال به نویه (SNR) کمتر از ۲ داشتند در مراحل بعدی مورد استفاده قرار نگرفتند و در همین مرحله حذف شدند. SNR در محاسبات

$$SNR^2 = \frac{\sum_{i=1}^n A_i^2(t) / t_s}{\sum_{i=1}^n N_i^2(t) / t_N} \quad (4)$$

در اینجا n تعداد نمونهای موجود در پنجره S , A_i دامنه نمونه i ام نگاشت در پنجره S و N_i دامنه نمونه i ام در پنجره نویه است. t_s و t_b به ترتیب طول پنجره زمانی سیگارا و نویه است، که به t_s ، t_b ، t_a و t_m نظر گذشته شوند.

میرا می‌شوند (Ambraseys et al., 2005). علت آن است که در زمین لرزه‌های بزرگ‌تر از ۶، چشمۀ زمین لرزه خطی در نظر گرفته می‌شود، بنابراین انتشار موج برخلاف زمین لرزه‌های کوچک بر روی یک نیم کره نخواهد بود بلکه انرژی روزی یک استوانه منتشر می‌شود و افت دامنه متناسب با $\sqrt{r}/1$ یا اندکی بیشتر (ناشی از ناهنجاری‌های زمین) است (برای نمونه: 2006 Motazedian). افزون بر این، به صورت تجربی هم نشان داده شده است که یک ارتباط وارون بین بزرگ‌گا و کاهندگی دامنه در حوزه دور وجود دارد به طوری که با افزایش بزرگ‌گا، آنگک افت دامنه کاهش می‌یابد (Ambraseys et. al., 2005). بنابر آنچه گفته شد بر این نکته تأکید می‌کنیم که ضرایب هندسی محاسبه شده در این مطالعه، از بانک داده با پهنانی بزرگ‌گای ۳/۲ تا ۳/۹ حساب شده‌اند. هر چند، استفاده از آنها در محاسبه کاتالوگ بزرگ‌گای M_1 که توسط نویسنده‌گان همین مقاله انجام شد، اشکالی در استفاده از این ضرایب تا بزرگ‌گای محلی ۵ ایجاد نکرد. از آنجا که این ضرایب از روی داده‌های جنبش ضعیف محاسبه شده‌اند استفاده از آنها در کارهای تحلیل خطر زمین لرزه باید با اختیاط صورت بگیرد. محاسبه ضرایب پخش هندسی می‌تواند اطلاعاتی درباره ویژگی‌های پوسته به ما ارائه دهد. چنین مباحثی را می‌توان در مقالات (Atkinson 2004) و Motazedian (2006) یافت.

در این نوشتار، ابتدا مراحل تجزیه نگاشتهای زمین لرزه برای محاسبه طیف شتاب امواج عرضی در فضای فوریه ارائه می‌شود. نتایج این تحلیل در ۱۵ بسامد میان ۰/۵ تا ۱۳ هرتز بررسی می‌شود. با استفاده از الگوریتم Robust Lowess، نقاطی که در آن روند افت دامنه با فاصله دارای تغییرات ناگهانی (Cleveland, 1979) است (نقاط شکستنگی تابع کاهندگی) در بسامد ۴ هرتز به دست می‌آید. سپس ضرایب گسترش هندسی و ضریب میرایی ناشی از ناکشسانی با استفاده از رگرسیون خطی محاسبه و تابع کفست موج عرضی معرفی می‌شود.

۲- داده‌ها

شبکه لرزه‌نگاری رقومی مؤسسه ژئوفیزیک دانشگاه تهران از ابتدای سال ۱۹۹۶ آغاز به کار کرده است. این شبکه مجهز به دستگاه‌های سرعت نگار سه مؤلفه‌ای و کوتاه دوره از نوع SS1 با سامد گوشه ۱ هرتز است. طیف پاسخ دستگاه نسبت به سرعت در بازه ۱ تا ۲۵ هرتز یک خط با شیب تقریباً صفر است، یعنی طراحی دستگاه به گونه‌ای است که در بازه ۱ تا ۲۵ هرتز، شکل طیف سرعت تغییر نکند. آنگ برداشت رقومی داده، ۵۰ نمونه در ثانیه است و بیشتر ایستگاه‌ها بر روی سنگ سخت نصب شده‌اند (Ghods & Sobouti, 2005). موقعیت ایستگاه‌ها و زمین‌لرزه‌های مورد استفاده در این مطالعه در شکل ۱ نشان داده شده است. بازه جغرافیایی منطقه مورد مطالعه ۳۴/۱ تا ۳۶/۶ شمالی و ۴۹/۵ تا ۵۴ خاوری است. در این مطالعه ۴۷ زمین‌لرزه با بزرگی میان ۳/۲ تا ۳/۹ و با گاف پوشش آزمومتی کمتر از ۲۵۰ درجه موردن استفاده قرار گرفت. ۴۸۰ نگاشت مربوط به ۴۷ زمین‌لرزه که در ۱۹ ایستگاه واقع در ۳ استان تهران، سمنان و مازندران ثبت شده‌اند بررسی و مطالعه شد. شکل ۲ توزیع نگاشت‌ها را بر حسب بزرگی زمین‌لرزه‌ها و فاصله نشان می‌دهد. فاصله از رومر کز نگاشت‌ها میان ۱۰ تا ۴۱۵ کیلومتر است و تا فاصله رومر کزی ۳۰۰ کیلومتر با تعداد قابل قبولی

۳- آماده سازی، داده ها

۱-۳، مؤلفه و بنیجہ سکنیا، داء، تحلیل،

امواج عرضی به علت آنکه به طور معمول دامنه‌ای پنج برابر دامنه امواج طولی دارند و بیشتر ویرانی و آسیب ساختمان‌ها ناشی از این امواج است، همواره بیشتر مورد توجه مهندسان زمین لرزه بوده است. موج عرضی قابل ثبت بر روی یک زلزله‌نگار کوتاه دوره (Period) شامل پرتوهای مستقیم sms بازتابی sms سطحی s انسکاری s

۴- محاسبه متغیرهای کاهنده‌ی و بحث بر روی نتایج

$$\begin{aligned}
 R \leq 106 & \quad y_i = a - b_1 \log(R_i) - c(f)R_i & (7) \\
 106 < R \leq 191 & \quad y_i = a - b_1 \log(R_{01}) - b_2 \log\left(\frac{R_i}{R_{01}}\right) - c(f)R_i & (8) \\
 R > 191 & \quad y_i = a - b_1 \log(R_{01}) - b_2 \log\left(\frac{R_{02}}{R_{01}}\right) - b_3 \log\left(\frac{R_i}{R_{02}}\right) - c(f)R_i & (9)
 \end{aligned}$$

برازش تابع بالا بر روی داده‌ها به صورت سعی و خطأ است. به طور تکراری، ترکیب‌های متفاوتی از ضرایب نامعلوم c, b_3, b_2, b_1 در فرمول بالا به کار می‌روند و برای هر ترکیب یک مقدار باقیمانده k (معادله ۸) محاسبه می‌شود. جواب نهایی، ترکیبی از ضرایب است که مجموع کاپا (k)، برای تمام نگاشت‌ها را کمینه کند.

$$k_i = |y_i(f) - \log(A_i(f))| \quad (10)$$

مقدار k از قدر مطلق تفاضل مقدار تجربی و مقدار تئوری به دست می‌آید. استفاده از قدر مطلق مقدار باقیمانده در الگوریتم‌های برازش به جای توان دوم k در دیگر روش‌ها (روش کمترین مربعات)، این برتری را دارد که تا حد امکان مانع می‌شود که نقاط خارج از روند باعث اعوجاج و انحراف تابع برازش شده از روند عمومی داده شوند. در صورت به کار بردن روش کمترین مربعات، این نقاط به علت داشتن کاپا (k) زیاد، وزن بیشتری نسبت به نقاط درون روند می‌باشد و بنابراین می‌توانند تابع را به سوی خود منحرف کنند.

در رابطه ۷، b_1 ضریب گسترش هندسی در 106 کیلومتر اول است که بیشترین انرژی موج توسط فازهای مستقیم S_g منتشر می‌شود و از نظر تئوری برای یک نیم صفحه همگن برابر با 1 است. از آنجا که شکستگی در 55 کیلومتر کوچک است و همچنین برای همخوانی با مدل سه پاره خطی، این شکستگی را نادیده می‌گیریم و b_1 را در 106 کیلومتر اول ثابت فرض می‌کنیم. b_2 ، ضریب گسترش هندسی در فاصله 106 تا 191 کیلومتر است که در آن فازهای بازتابی از موهو و ناپیوستگی سوم باعث تغییر شکل تابع گشترش هندسی شده است. چون در این بازه اثرات ناپیوستگی سوم در همه بسامدها دیده نمی‌شود و همچنین برای همخوانی با مدل سه پاره، از اعوجاج‌های موجود در 155 کیلومتر چشم پوشی و یک ضریب b_3 برای کل فاصله محاسبه می‌کنیم. b_3 ، ضریب گسترش هندسی در فاصله‌های بیش از 191 کیلومتر است که در این فاصله‌ها انرژی بیشتر توسط امواج سطحی (موج لاو بر روی مؤلفه T) نگاشت می‌شود. مقدار تئوری برای گشتresh امواج سطحی برای $10/5$ است. رگرسیون بالا بر روی مولفه افقی مماسی که گپ کمتر از 180 درجه داشتند، انجام شد. تغییر روند کاهنده‌ی در شکل ۳ آشکارا دیده می‌شود. یک باند پهن از ضرایب، برای بدست آوردن ضرایب b و c به رگرسیون داده شد. b_1, b_3, b_2, b_1 به ترتیب میان $0/8$ تا 2 ، $-0/5$ تا $0/5$ ، $0/5$ تا $1/5$ با بازه $0/1$ و c از $10/5$ تا $0/5$ با بازه لگاریتمی $0/005$ واحد انتخاب شد. پس از انجام رگرسیون خطی بر روی 220 نگاشت در بسامد 4 هرتز، بهترین ترکیب ضرایب گشتresh هندسی در $b_1 = 1/1$ ، $b_3 = -0/4$ و $b_2 = 0/9$ است. انحراف از معیار این برازش با استفاده از رابطه $\sqrt{\frac{1}{n} \sum_{i=1}^n [y_i - f(x_i)]^2}$ محاسبه شد که در آن β داده‌های تجربی، $f(x_i)$ تابع برآنش شده و n تعداد نقاط برآنش شده است. توزیع مقدار انحراف از معیار برای این رگرسیون برابر با $0/35$ به دست آمد. خطأ در تعیین ضرایب پخش هندسی برابر با $0/1$ است که در واقع همان پله تغییر ضرایب b در یافتن بهترین ترکیب ضرایب است.

منفی بودن ضریب b_2 نشان می‌دهد که یک اختلاف سرعت شدید در مزد موهو وجود دارد که باعث می‌شود مقدار زیادی از انرژی از این مزد بازتاب شود. ضرایب b_1 و b_3 نیز هر کدام مقداری بیش از مقدار تئوری محاسبه شده را دارند چرا که در محاسبه ضرایب گشتresh هندسی فرض می‌شود که محیط کاملاً همگن و به صورت یک نیم فضاست و هیچ گونه لایه‌بندی در آن وجود ندارد. وجود لایه‌بندی‌ها در پوسته باعث می‌شود که همواره مقداری از انرژی از مزد لایه‌بندی‌ها بازتاب شود و

برای مشاهده روند تغییرات منحنی کاهنده‌ی بر حسب فاصله، از یک الگوریتم برآش غیرمتغیری به نام Robust Lowess (Cleveland, 1979) استفاده شد. روش‌های فیت غیرمتغیری روش‌هایی هستند که در آنها برای برآش، نیازی به یک مدل متغیری (تابعی) که رفتار میان متغیرها مثلاً دامنه بر حسب فاصله را نشان می‌دهد نیست؛ بلکه تغییرات داده تنها توسط خود داده تعیین می‌شود. در این روش، برخلاف روش‌های برآش با استفاده از مدل‌های متغیری، که امروزه به طور معمول مورد استفاده قرار می‌گیرد، یک قید ریاضی به داده تحمیل نمی‌شود تا داده مجبور به پیروی از آن شود. استفاده از این گونه روش‌ها می‌تواند اطلاعاتی را که تا به امروز به علت لحاظ نشدن در توابع برآش شده، از چشم دور مانده و به عنوان نوافه دور ریخته می‌شده‌اند را در اختیار ما قرار دهد. در این مقاله به عنوان یک نوآوری، پیشنهاد می‌شود تا رفتار داده توسط الگوریتم برآش غیرمتغیری Robust Lowess مشاهده، تابع مناسب برای برآش انتخاب و آنگاه برآش متغیری انجام شود. استفاده از برآش به روش Robust Lowess آشکارا وجود دو شکستگی چیره در منحنی کاهنده‌ی در 106 و 191 کیلومتر را نشان داده است (شکل ۳). استفاده از این الگوریتم برای یافتن مقادیر R_1 و R_2 دو مزیت دارد. (الف) تعیین متغیرهای R_1 و R_2 به روش غیرمتغیری و ثابت فرض کردن آنها در رگرسیون مانع از trade-off میان این مقادیر و ضرایب کاهنده‌ی (ضرایب پخش هندسی b)، و ضریب میرایی ناشی از الاستیک بودن زمین (C) می‌شود. در بسیاری از مقالات بسته به نوع بانک و ویژگی داده‌ها، با استفاده از روش‌هایی، سعی بر کاهش احتمال trade-off میان ضرایب را داشته‌اند (برای مثال Atkinson, 2004 و Motzedian, 2006) و این مطلب خود اهمیت جلوگیری از رویداد این خطأ میان ضرایب محاسبه شده را نشان می‌دهد. (ب) حجم محاسبات در رگرسیون تا حد بسیار زیادی کاهش پیدا می‌کند. در شکل ۳، نتیجه برآش توسط الگوریتم بالا در بسامد 4 هرتز بدیده می‌شود. انتخاب بسامد 4 هرتز بدین دلیل بوده است که در طیف سرعت لرزه‌نگاشت‌های ثبت شده در دستگاه‌های کوتاه دوره، بیشینه دامنه در بازه بسامدی 3 تا 5 هرتز دیده شده است. بنابراین، بسامد 4 هرتز به عنوان پسالم مرتع انتخاب شده است. نقاط شکستگی که تغییر ضرایب گشتresh هندسی را نشان می‌دهند، آشکارا در 106 و 191 کیلومتر دیده می‌شوند. خطأ در محاسبه این مقادیر از مرتبه خطای مکان‌بایی در تعیین طول و عرض جغرافیایی چشم می‌زیند لرزه است که در بانک داده مورد استفاده به طور میانگین برابر 10 کیلومتر است. حال که نقاط شکستگی منحنی کاهنده‌ی دامنه چشم پوشی با فاصله را پیدا کرده‌ایم، مدل متغیری برای منحنی کاهنده‌ی دامنه طیف شتاب، که توسط Atkinson & Mereu (1992) مطرح شده است را بر روی داده‌ها برآش می‌کنیم. مدل متغیری یادشده به صورت زیر است:

$$\log A_i(f) = a - b \log(R_i) - c(f)R_i \quad (5)$$

در رابطه 5 ، a اندیس هر نگاشت و A_i دامنه طیف شتاب نگاشت در بسامد f است که در فاصله R_i از چشم زمین لرزه ثبت شده است. a متغیری است که اثر چشم زمین در آن قرار می‌گیرد. از آنجا که پهنه‌ی بزرگی زمین لرزه‌ها کم است بنابراین به جای اثر چشم زمین لرزه، از عدد ثابت مانند a استفاده کرد که به صورت میانگین، اثر چشم زمین لرزه را در خود دارد. b ضریب گشتresh هندسی و $c(f)$ ضریب میرایی ناشی از غیرالاستیک بودن زمین است که با تابع کیفیت (Q)، به صورت زیر ارتباط دارد (Atkinson & Mereu, 1992):

$$Q = \frac{\pi}{\ln(10) c(f) \beta} f \quad (6)$$

β سرعت موج برپشی در پوسته است. برای انجام برآش متغیری بر روی داده‌ها، شکل تابع کاهنده‌ی دامنه بر حسب فاصله، سه پاره خطی (Hinged Tri-linear) در نظر گرفته شد. این شکل تابع کاهنده‌ی اولین بار توسط Atkinson & Mereu (1992) ارائه شد. تعریف دقیق تابع کاهنده‌ی سه پاره خطی در زیر آمده است.

با قیمانده تابع برازش شده (تفاضل میان مقدار تجربی و مقدار پیش‌بینی شده توسط تابع کاهاندگی محاسبه شده) بر حسب فاصله در شکل ۵ نشان داده شده است. تقارن مقدار با قیمانده حول صفر و نبود یک روند به سوی بالا و پایین، تأیید می‌کند که مقادیر انتخاب شده برای ضرایب کاهاندگی دامنه در ناحیه در مطالعه قابل قبول هستند. تابع $Q = Q_0 f^{\beta}$ به مقادیر Q در پاتزده بسامد میان $0/5$ تا 13 هرتز با استفاده از الگوریتم LAR برازش شد. مقدار Q محاسبه شده در ناحیه تهران در شکل ۶ نشان داده شده است. معادله خط برازش شده به مقادیر $Q = 121 \pm 3f^{0.68 \pm 0.02}$ است.

یک مقایسه از معادله به دست آمده با معادلات محاسبه شده در دیگر نقاط لرزه‌خیز دنیا در شکل ۷ دیده می‌شود. همان‌گونه که دیده می‌شود همخوانی و نزدیکی زیادی بین توابع کیفیت موج بر Shi در نواحی زمین‌ساختی مشابه دیده می‌شود. از این ضرایب کیفیت به عنوان یک تقریب مرتبه اول برای تشخیص نواحی زمین‌ساختی مشابه استفاده می‌شود.

۵- نتیجه‌گیری

با انجام رگرسیون خطی بر روی 220 نگاشت در بسامد 4 هرتز، بهترین ترکیب ضرایب گسترش هندسی در $b_1 = 1/1 \pm 0/1$, $b_2 = -0/4 \pm 0/1$, $b_3 = 0/5$ مشاهده و در $b_4 = 0/1 \pm 0/1$, $b_5 = 0/1 \pm 0/1$, $b_6 = -0/4 \pm 0/1$, $b_7 = 0/5$ مطالعه می‌شود. نقاط تغییر این ضرایب برای همخوانی با فرض مدل سه‌تکه‌ای، 10.6 ± 10 و 19.1 ± 10 کیلومتر در نظر گرفته شده است. پس از آن، با حذف اثر کاهاندگی دامنه ناشی از پخش هندسی، ضرایب میرایی ناشی از غیر الاستیک بودن زمین در بسامدهای مختلف محاسبه و از روی آن تابع کیفیت موج بر Shi به صورت $Q = 121 \pm 3f^{0.68 \pm 0.02}$ معرفی شد. منفی بودن ضرایب b_1 و b_2 نشان می‌دهد که یک اختلاف سرعت شدید در مژ موهو وجود دارد و باعث می‌شود مقدار زیادی از انرژی از این مژ بازتاب شود. ضرایب b_3 و b_4 نیز مقداری بیش از مقدار تئوری محاسبه شده را دارد که به علت وجود لایه‌بندی در پوسته است. وجود لایه‌بندی‌ها در پوسته باعث می‌شود که همواره مقداری از انرژی موج مستقیم از مژ لایه‌بندی‌ها به سوی پایین بازتاب شود و ضرایب کاهاندگی ناشی از پخش هندسی امواج مستقیم (b_5) مقداری بیش از مقدار تئوری (b_6) داشته باشد. مقایسه ضرایب (فکتور) کیفیت برآورد شده با روابط تعیین شده برای دیگر نقاط لرزه‌خیز، بیانگر لرزه‌خیزی زیاد منطقه است. همان‌گونه که در شکل ۷ دیده می‌شود، همخوانی و نزدیکی زیادی میان توابع کیفیت موج بر Shi در نواحی زمین‌ساختی مشابه دیده می‌شود. از این ضرایب کیفیت به عنوان یک تقریب مرتبه اول برای تشخیص نواحی زمین‌ساختی مشابه استفاده می‌شود.

سپاسگزاری

از دکتر داریوش معتصدیان (دانشگاه کارلتون کانادا)، دکتر فرانک کروگر (دانشگاه پتسدام آلمان)، دکتر فرهاد ثبوتی و آقایان هادی رحمانی و روح... عسکری برای کمک‌ها و پیشنهادات مفیدشان سپاسگزاری می‌کنیم. از آقای احسان قربانی چگنی برای کمک و همراهیش در تهیه و بهبود بانک داده متشکریم. از داوران محترم نیز که با پیشنهادات ارزنده خود باعث تقویت مقاله شدن سپاسگزاریم. همچنین بدینوسیله از مؤسسه ژئوفیزیک دانشگاه تهران برای آنکه بانک داده مورد استفاده در این مطالعه را در اختیار ما قرار دادند، تشکر می‌کنیم.

ضریب میرایی ناشی از پخش هندسی مقداری بیش از مقدار تئوری داشته باشد. علت این پدیده آن است که چون مسیر پرتوهای موج مستقیم از پایین به بالا است بنابراین این بازتاب از مژها به سوی پایین است. یعنی پرتوهای بازتابی از لایه‌بندی‌ها به سوی پایین می‌روند و به سطح نمی‌رسند. بنابراین لایه‌بندی باعث کاهاندگی بیشتر و افزایش ضرایب هندسی می‌شود.

مقدار $0/9$ برای پخش هندسی امواج سطحی عدد بسیار بزرگی است و از آنجا که همچ توپیج قابل قبول برای بزرگی این عدد در دسترس نیست ما برای محاسبه تابع Q از $0/5 = b_3$ که مقدار تئوری آن است، استفاده کردیم. این مشکل در مطالعات مشابه (Atkinson & Mereu, 1992) نیز دیده شده است. علت این مشکل می‌تواند ناشی از کمبود تعداد داده‌ها یا کیفیت پایین آنها در فواصل بیشتر از 200 کیلومتر باشد. پایین بودن کیفیت داده‌ها در فاصله بیش از 200 کیلومتر می‌تواند به علت دور بودن استیگاه از محل زلزله باشد که سبب می‌شود حذف اثر نویه از سیگنال (به علت نسبت سیگنال به نویه کمتر) با دقت کمتری انجام گیرد و مقدار دامنه به دست آمده خطای بیشتری داشته باشد.

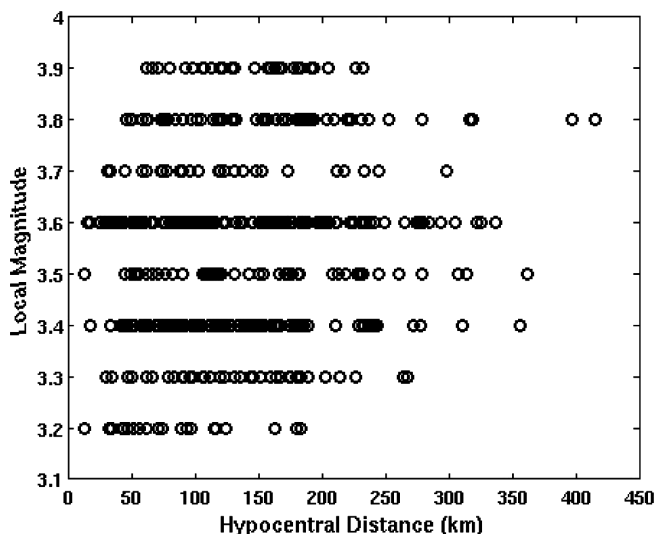
مقدار b_1 و b_2 به دست آمده در این مطالعه، همخوانی خوبی با مطالعات مشابه در شمال ایران (Shoja-Teheri et al., 2007; Motazedian, 2006) دارد. در مطالعه (2006) Motazedian (2006) ($b_1 = 0/6$ (برای چشم‌های خطی) و $b_2 = -0/4$ و در مطالعه Shoja-Teheri et al. (2007) ($b_1 = 0/3$ و $b_2 = -0/24$ و $b_3 = 0/03$) که مشاهده می‌شود در هر دو مطالعه، ضریب b_1 مقداری منفی به دست آمده است و این مسئله، بازتاب شدید موج توسط مژ موهو در ناحیه تهران را تأیید می‌کند. همچنین، محل شکستگی اول (R_1) در مطالعه (Shoja-Teheri et al. (2007)، در مطالعه شمالي ايران برابر 10.2 کیلومتر به دست آمده است که همخوانی بسیار خوبی با 10.6 کیلومتر (محاسبه شده در این مطالعه) دارد. این مقدار توسط Motazedian (2006) به دست آمده است.

ضرایب b_1 به طور تئوری برای تمام بسامدها ثابت فرض می‌شود این ضرایب مستقل از بسامد هستند. بنابراین، اکنون می‌توان با داشتن مقادیر b_1 و b_2 را به صورت رابطه (۵) نوشت (Martynov et al., 1999):

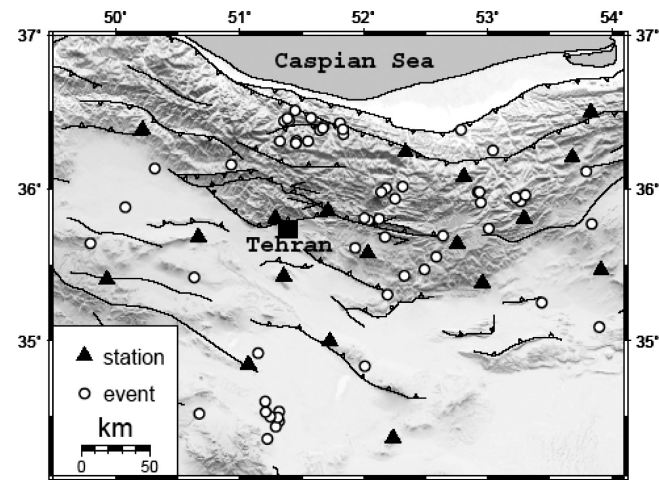
$$(5) \log A_i(f) + b \log(R_i) = a - c(f) R_i$$

یعنی می‌توان با اضافه کردن ترم $R_i \log(R_i)$ به دامنه طیف شتاب، اثر کاهاندگی ناشی از پخش هندسی را از روی آن برداشت (شکل ۴) و با محاسبه شب منحنی، ضرایب میرایی ناشی از الاستیک نبودن زمین را بدست آورد. به علت پراکندگی زیاد داده‌ها برای یافتن شب منحنی، از الگوریتم Least Absolute deviation Regression استفاده شد. این روش، الگوریتمی مشابه روش مجنوز مربوطات دارد با این تفاوت که به جای توان دوم مقدار با قیمانده، قدر مطلق آن در محاسبات وارد می‌شود.

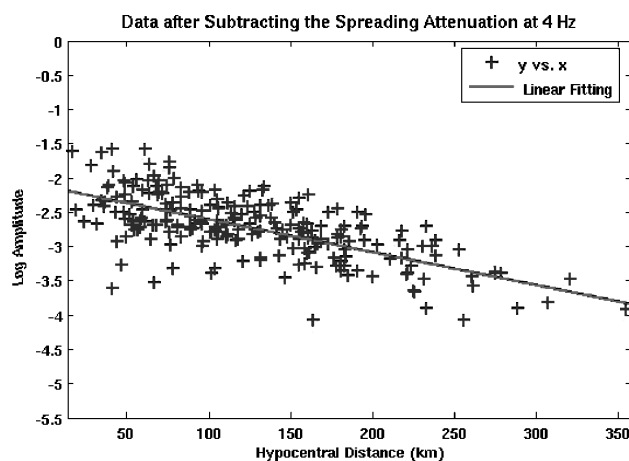
پس از محاسبه ضرایب (f) با استفاده از 220 نگاشت افقی مماسی، اکنون با استفاده از رابطه 4 ، مقدار Q محاسبه می‌شود. β سرعت موج عرضی در پوسته با استفاده از وارون شب منحنی زمان رسید فاز S_1 ، $3/73$ کیلومتر بر ثانیه به دست آمد. اگرچه 480 نگاشت به علت پراکندگی بیشتر، محل شکستگی‌های منحنی‌های کاهاندگی را به خوبی نشان نمی‌دهند اما استفاده از همه آنها برای محاسبه ضرایب میرایی غیرکشسانی، (f) مقدار Q به دست آمده را چندان تغییر نمی‌دهد. مقدار



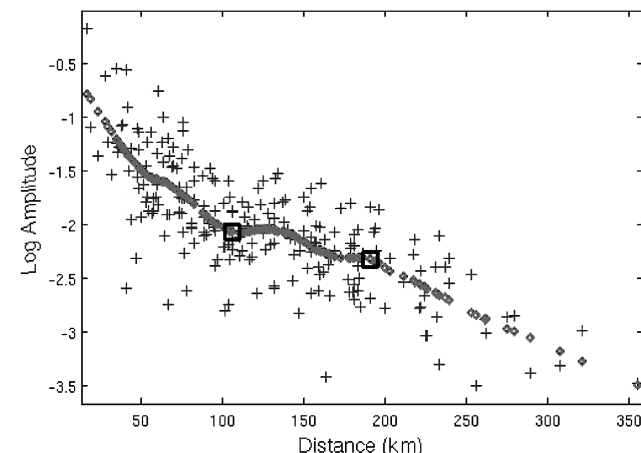
شکل ۲- توزیع بزرگی زمین لرزه‌ها بر حسب فاصله. یک پوشش خوب داده تا فاصله ۳۰۰ کیلومتر از ایستگاه‌ها مشاهده می‌شود.



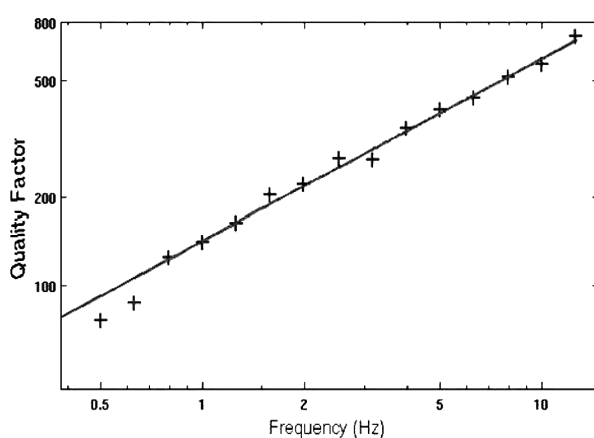
شکل ۱- موقعیت ایستگاه‌ها و زمین لرزه‌های تحلیل شده در این مطالعه در ناحیه تهران. ستاره‌ها، موقعیت زلزله‌ها، مثلث‌ها، محل ایستگاه‌ها و خطوط سیاه‌رنگ، گسل‌های فعال منطقه را نشان می‌دهند (Hessami et al., 2003).



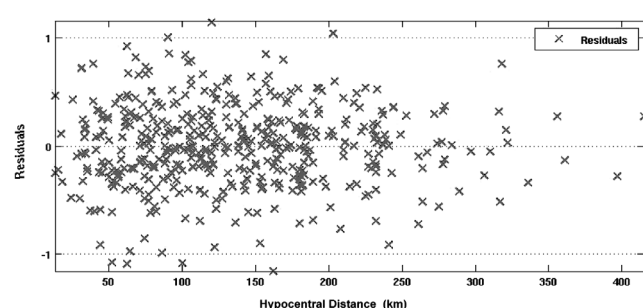
شکل ۴- لگاریتم دامنه در بسامد ۴ هرتز بر حسب فاصله پس از حذف اثر کاهنده‌گی ناشی از گسترش هندسی. شکستگی‌ها در روند افت داده‌ها به طور واضحی حذف شده‌اند. برای محاسبه ضریب میرایی ناشی از غیرکشسان بودن زمین، یک خط راست به نقاط تولید شده (+ آبی) برآش می‌شود (رابطه ۶). دامنه حساب شده بر حسب متر بر مجدور ثانیه است.



شکل ۳- لگاریتم دامنه در بسامد ۴ هرتز بر حسب فاصله از چشمۀ زمین لرزه (+ آبی). برآش غیر متفاوتی به روش Robust Lowess (نقشه‌های سرخ). شکستگی در نقاط ۱۰۶ کیلومتر و ۱۹۱ کیلومتر (مریع‌های سیاه) آشکارا دیده می‌شود. بعد دامنه حساب شده متر بر مجدور ثانیه است.

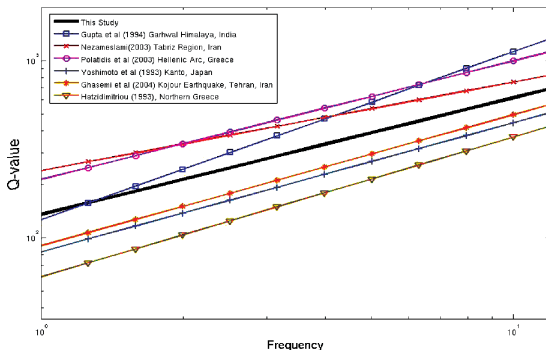


شکل ۶- مقادیر Q در بسامدهای مختلف برای ناحیه تهران. خط سرخ، خط فیت شده با استفاده از الگوریتم LAR است.



شکل ۵- مقدار باقیمانده (تفاضل میان مقدار تجربی و مقدار پیش‌بینی شده توسط تابع کاهنده‌گی محاسبه شده) بر حسب فاصله. نقاط، حول نقطه صفر به طور متقابل پراکنده شده‌اند و هیچ گونه روندی به سوی بالا و پایین در مقدار باقیمانده دیده نمی‌شود.

شکل ۷- مقایسه تابع کیفیت به دست آمده برای ناحیه تهران با توابع کیفیت در برخی نواحی لرزه‌خیز دنیا مانند ژاپن، یونان، هند و ... خط ۱، تابع $Q = 121f^{0.68}$ که در این مطالعه به دست آمده است. خط ۲،
 $Q = 239f^{0.50}$ (Gupta et al., 1994) $Q = 126f^{0.95}$ (Polatidis et al., 2003) تابع کیفیت امواج برشی در هیمالیا در هند؛ خط ۳،
 $Q = 56f^{0.90}$ (Yoshimoto et al., 2003) تابع کیفیت امواج برشی در تبریز ایران؛ خط ۴،
 $Q = 83f^{0.73}$ (Yoshimoto et al., 1993) تابع کیفیت امواج برشی در یونان؛ خط ۵،
 $Q = 90f^{0.74}$ (Ghasemi et al., 2004) تابع کیفیت امواج برشی در کانتو، ژاپن؛ خط ۶،
استفاده از زلزله کجور-بلده، تهران، ایران؛ خط ۷،
کیفیت امواج برشی در شمال یونان. (شماره خط‌ها بر اساس ترتیب خط‌ها در توضیحات گوششکل است).



کتابنگاری

زارع، م.، ۱۳۸۴- مقدمه‌ای بر زلزله‌شناسی کاربردی، پژوهشگاه بین‌المللی زلزله‌شناسی و مهندسی زلزله.
 قاسمی، ه.، کمالیان، ن.، حمزه‌لو، ح.، بیت‌الهی، ع.، ۱۳۸۴- تعیین فاکتور کیفیت امواج برشی مستقیم (Q_p)، در منطقه البرز به کمک داده‌های میدان نزدیک حرکت نیرومند زمین
 لرزه کجور در محدوده سیامدی ۱ تا ۳۲ هرتز، مجله فیزیک زمین و فضا، ۱۰۳، ۳۱-۱۱۲.
 نظام اسلامی، ح.، ۱۳۸۲- تعیین فاکتور کیفیت برای پیرامون تبریز، پایان نامه کارشناسی ارشد، مؤسسه ژئوفیزیک دانشگاه تهران.

References

- Ambraseys, N. N., Douglas J. & Sarma S. K., 2005- Equations for the estimation of strong ground motions from shallow crustal earthquakes using data from Europe and the Middle East: horizontal peak ground acceleration and spectral acceleration, Bulletin of Earthquake Engineering, 3:1-53.
- Atkinson, G. & Mereu R., 1992- The shape of ground motion attenuation curves in southeastern Canada, Bull. Seism. Soc. Am., 82: 2014–2031.
- Atkinson, G. M., 2004- Empirical attenuation of ground-motion spectral amplitudes in southeastern Canada and the northeastern United States, Bull. Seism. Soc. Am., 94: 1079–1095.
- Boore, D. M., 2004- Can site response be predicted?, J. Earthquake Engineering, 8: Special Issue 1
- Burger, R., Somerville, P., Barker, J., Herrmann, R. & Helmberger, D., 1987- The effect of crustal structure on strong ground motion attenuation relations in eastern North America, Bull. Seism. Soc. Am., 77: 420–439.
- Cleveland, W. S., 1979- Robust Locally Weighted Regression and Smoothing Scatterplots, Jour. Am. Statist. Assoc., 74 : 829–836.
- Ghods, A. & Sobouti, F., 2005- Quality assessment of seismic recording: Tehran seismic telemetry network, Asian Journal of Earth Sciences, 25: 687-694
- Gupta, S. C., Singh, V. N. & Kumar, A., 1994- Attenuation of coda waves in the Garhwal Himalaya, India: Phys. Earth Planet. Inter., 87, 247-253.
- Hatzidimitriou, P., Papazachos, C., Kiratzi, A. & Theodulidis, N., 1993- Estimation of attenuation structure and local earthquake magnitude based on acceleration records in Greece. Tectonophys, 217 , 243-253.
- Hessami, H., Jamali, F. & Tabassi, H., 2003-Major Active Fault of Iran, International Institute of Earthquake Engineering and Seismology, Tehran, Iran
- Martynov, V. G., Vernon, F. L., Mellors, R. J. & Pavlis, G. L., 1999- High-Frequency Attenuation in the Crust and Upper Mantle of the Northern Tien Shan, Bull. Seism. Soc. Am. 89: 215-238
- Motazedian, D., 2006- Region-Specific Key Seismic Parameters for Earthquakes in Northern Iran, Bull. Seism. Soc. Am. 96: doi: 10.1785/0120050162
- Ou, G. & Herrmann, R., 1990- A statistical model for peak ground motion from local to regional distances, Bull. Seism. Soc. Am. 80: 1397–1417.
- Polatidis, A., Kiratzi, A., Hatzidimitriou, P. & Margaris, B., 2003- Attenuation of shear waves in the back-arc region of the Hellenic arc for frequencies from 0.6 to 16 Hz. Tectonophys, 367 , 29-40.
- Shoja-Taheri, J., Naserieh, S. & Ghofrani, H., 2007- ML and MW scales in the Iranian Plateau based on the strong motion records, Bull. Seism. Soc. Am. 97: 661-669.
- Yoshimoto, K., Sato, H. & Ohtake, M., 1993- Frequency-dependent attenuation of P and S waves in Kanto area, Japan, based on the coda-normalization method: Geophys. J. Int., 114 , 165-174.